

Ю. П. ПЕТРОВ

РАСЧЕТ НА ИЗГИБ ПЛАСТИН С ЛИНЕЙНЫМ ИЗМЕНЕНИЕМ ТОЛЩИНЫ ДИСКРЕТНЫМ МЕТОДОМ

Интегрирование дифференциального уравнения упругой пластины переменной жесткости является сложной математической задачей. Стное ее решение при произвольных граничных условиях и внешних нагрузках пока не представляется возможным. С другой стороны, пластины переменной толщины находят применение в инженерных сооружениях. В связи с этим необходимы численные методы решения такой задачи. К последним относятся: метод сеток и дискретный метод. Поставленная задача решается дискретным методом.

§ 1. СИСТЕМЫ ДИФФЕРЕНЦИАЛЬНЫХ УРАВНЕНИЙ ДИСКРЕТНОГО МЕТОДА

Рассмотрим прямоугольную пластину размерами $2a \times b$, нагруженную нагрузкой $q(x, y)$, с произвольными граничными условиями (рис. 1).

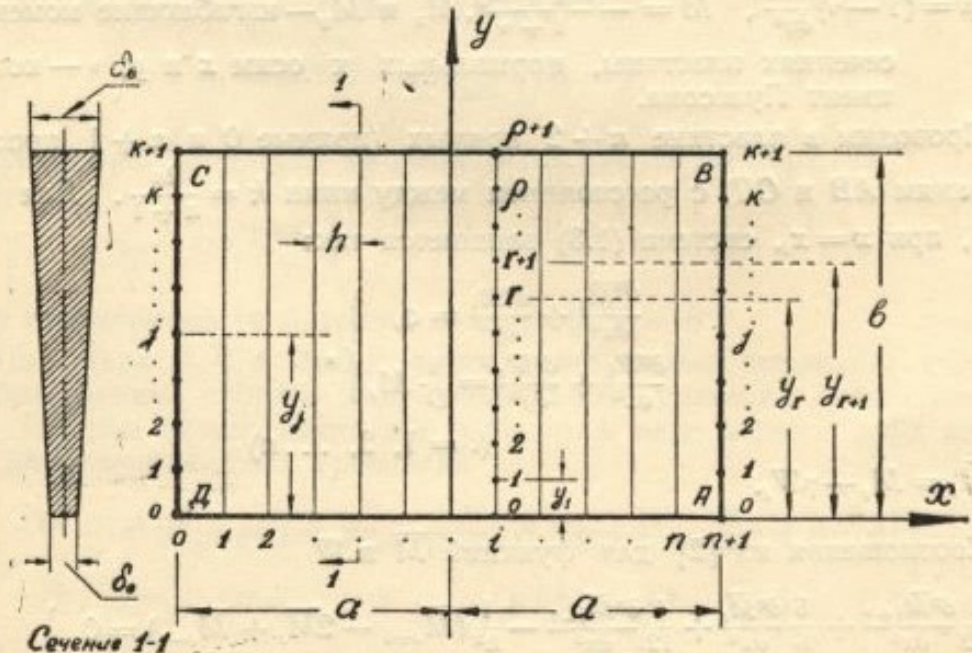


Рис. 1.

Дифференциальное уравнение изгиба пластины с толщиной, изменяющейся в направлении осей x и y :

$$\Delta(D\Delta W) - (1-\nu) \frac{\partial^2 D}{\partial x^2} \frac{\partial^2 W}{\partial y^2} - 2 \left(\frac{\partial^2 D}{\partial x \partial y} \frac{\partial^2 W}{\partial x \partial y} + \frac{\partial^2 D}{\partial y^2} \frac{\partial^2 W}{\partial x^2} \right) = q(x, y), \quad (1.1)$$

где

$$\Delta = \frac{\partial^2}{\partial x^2} + \frac{\partial^2}{\partial y^2}.$$

Принимаем, что толщина пластины симметрична относительно ее срединной плоскости и изменяется линейно в направлении оси y . Тогда дифференциальное уравнение (1.1) приобретает такой вид:

$$\Delta(D\Delta W) - (1-\nu) \frac{\partial^2 D \partial^2 W}{\partial y^2 \partial x^2} = q. \quad (1.2)$$

При этом, как известно, с достаточной точностью можно считать, что

$$\begin{aligned} M_x &= -D \left(\frac{\partial^2 W}{\partial x^2} + \nu \frac{\partial^2 W}{\partial y^2} \right), \quad M_y = -D \left(\frac{\partial^2 W}{\partial y^2} + \nu \frac{\partial^2 W}{\partial x^2} \right), \\ M_{xy} &= D(1-\nu) \frac{\partial^2 W}{\partial x \partial y}. \end{aligned}$$

В соответствии с этим

$$\begin{aligned} Q_x &= - \left[D \frac{\partial}{\partial x} \Delta W + (1-\nu) \frac{\partial D}{\partial y} \frac{\partial^2 W}{\partial x \partial y} \right], \\ Q_y &= - \left[D \frac{\partial}{\partial y} \Delta W + \frac{dD}{dy} \left(\frac{\partial^2 W}{\partial y^2} + \nu \frac{\partial^2 W}{\partial x^2} \right) \right]. \end{aligned}$$

Представим (1.2) системой из двух дифференциальных уравнений

$$\left. \begin{aligned} \Delta M &= q + \mu \frac{\partial^2 W}{\partial x^2} \\ \Delta W &= \frac{1}{D} M \end{aligned} \right\}, \quad (1.3)$$

где $\mu = (1-\nu) \frac{\partial^2 D}{\partial y^2}$, $M = -\frac{M_x + M_y}{1+\nu}$, M_x и M_y — изгибающие моменты в сечениях пластины, нормальных к осям x и y , ν — коэффициент Пуассона.

Проводим в пластине $n+2$ прямых (прямые 0 и $n+1$ проходят по граням AB и CD) с расстоянием между ними $h = \frac{2a}{n+1}$. Для прямой i , при $x = x_i$, система (1.3) запишется так:

$$\left. \begin{aligned} \frac{\partial^2 \bar{M}_i}{\partial x^2} + \frac{\partial^2 M_i}{\partial y^2} &= q_i \\ \frac{\partial^2 W_i}{\partial x^2} + \frac{\partial^2 W_i}{\partial y^2} &= \frac{1}{D} M_i \end{aligned} \right\}, \quad (1.4)$$

$(i = 1, 2, \dots, n)$

где $\bar{M}_i = M_i - \mu W_i$.

Соотношения из [2] для функций \bar{M} и W

$$\left. \begin{aligned} \frac{1}{12} \frac{\partial^2 \bar{M}_{i+1}}{\partial x^2} + \frac{5}{6} \frac{\partial^2 \bar{M}_i}{\partial x^2} + \frac{1}{12} \frac{\partial^2 \bar{M}_{i-1}}{\partial x^2} - \frac{1}{h^2} (\bar{M}_{i+1} - 2\bar{M}_i + \bar{M}_{i-1}) &= 0 \\ \frac{1}{12} \frac{\partial^2 W_{i+1}}{\partial x^2} + \frac{5}{6} \frac{\partial^2 W_i}{\partial x^2} + \frac{1}{12} \frac{\partial^2 W_{i-1}}{\partial x^2} - \frac{1}{h^2} (M_{i+1} - 2W_i + W_{i-1}) &= 0 \end{aligned} \right\}. \quad (1.5)$$

$(i = 1, 2, \dots, n)$

Подставляем в (1.5) производные $\frac{\partial^2 \bar{M}_i}{\partial x^2}$ и $\frac{\partial^2 W_i}{\partial x^2}$ ($i = 1, 2, \dots, n$) из системы (1.4). Затем переносим «контуры» функции W_0 , W_{n+1} , M_0 и M_{n+1} в правые части полученных систем дифференциальных уравнений. Резуль-

тат кратко запишем в матричном виде:

$$\left. \begin{aligned} AM'' + \frac{1}{h^2} \Delta (M - \mu W) &= Aq + \frac{1}{12} \left(Q - \psi'' - \frac{12}{h^2} \psi + \mu \frac{12}{h^2} \varphi \right) \\ AW'' + \frac{1}{h^2} \Delta W &= \frac{1}{D} AM + \frac{1}{12} \left(\frac{1}{D} \phi - \varphi'' - \frac{12}{h^2} \varphi \right) \end{aligned} \right\}, \quad (1.6)$$

где $M = (M_1, M_2, \dots, M_n)$, $W = (W_1, W_2, \dots, W_n)$, $q = (q_1, q_2, \dots, q_n)$, $Q_0 = (q_0, 0, \dots, 0)$, $Q_{n+1} = (0, \dots, 0, q_{n+1})$, $Q = Q_0 + Q_{n+1}$, $\psi_0 = (M_0, 0, \dots, 0)$, $\psi_{n+1} = (0, \dots, 0, M_{n+1})$, $\psi = \psi_0 + \psi_{n+1}$, $\varphi_0 = (W_0, 0, \dots, 0)$, $\varphi_{n+1} = (0, \dots, 0, W_{n+1})$, $\varphi = \varphi_0 + \varphi_{n+1}$, $\psi'' = (M_0, 0, \dots, 0)$, $\psi''_{n+1} = (0, \dots, 0, M''_{n+1})$, $\psi'' = \psi''_0 + \psi''_{n+1}$,

и т. д. — столбцевые матрицы;

$$A = \begin{vmatrix} 5/6 & 1/12 & 0 & 0 & \dots & 0 \\ 1/12 & 5/6 & 1/12 & 0 & \dots & 0 \\ \dots & \dots & \dots & \dots & \dots & \dots \\ 0 & \dots & 0 & 1/12 & 5/6 & \dots \end{vmatrix} \quad \Delta = \begin{vmatrix} -2 & 1 & 0 & \dots & 0 \\ 1 & -2 & 1 & 0 & \dots & 0 \\ \dots & \dots & \dots & \dots & \dots & \dots \\ 0 & \dots & 0 & 1 & -2 & \dots \end{vmatrix},$$

$$A = E + \frac{1}{12} \Delta, \quad E — единичная матрица.$$

Ортонормированным преобразованием с матрицей B приводим одновременно матрицы A и Δ к диагональному виду. Тогда

$$\left. \begin{aligned} \Delta &= B \lambda B^{-1} \\ A &= B \left(E + \frac{1}{12} \lambda \right) B^{-1} \end{aligned} \right\}, \quad (1.7)$$

где λ — диагональная матрица с элементами

$$\lambda_s = -2 \left(1 + \cos \frac{\pi s}{n+1} \right) (s = 1, 2, \dots, n).$$

Элементы преобразующей матрицы вычисляются по формуле

$$b_{ks} = (-1)^{k+s} \sqrt{\frac{2}{n+1}} \sin \frac{\pi ks}{n+1} (k, s = 1, 2, \dots, n).$$

Из-за симметричности матрицы Δ матрица $B = B^{-1}$.

Подставив (1.7) в (1.6) и опуская несложные выкладки, получаем преобразованные системы дифференциальных уравнений дискретного метода, которые можем компактно записать в виде системы двух матричных дифференциальных уравнений

$$\left. \begin{aligned} V'' - \alpha^2 (V - \mu U) &= Bq + \frac{1}{12 + \lambda} B \left(Q - \psi'' - \frac{12}{h^2} \psi + \mu \frac{12}{h^2} \varphi \right) \\ U'' - \alpha^2 U &= \frac{1}{D} V + \frac{1}{12 + \lambda} B \left(\frac{1}{D} \phi - \varphi'' - \frac{12}{h^2} \varphi \right) \end{aligned} \right\}, \quad (1.8)$$

где $\alpha^2 = -\frac{12\lambda}{h^2(12+\lambda)}$ — диагональная матрица, $V = BM$ и $U = BW$ — столбцевые матрицы.

Заменив в (1.4) производные $\frac{\partial^2 M_i}{\partial x^2}$ и $\frac{\partial^2 W_i}{\partial x^2}$ ($i = 1, 2, \dots, n$) их конечно-разностными выражениями, которые получаются при «скользящей» интерполяции функций M и W степенным полиномом второй степени [1],

придем к более простой системе двух матричных дифференциальных уравнений

$$\left. \begin{aligned} V'' - \alpha^2(V - \mu U) &= Bq - \frac{1}{h^2} B(\psi - \mu\varphi) \\ U'' - \alpha^2 U &= \frac{1}{D} V - \frac{1}{h^2} B\varphi \end{aligned} \right\}, \quad (1.9)$$

где $\alpha^2 = -\frac{\lambda}{h^2}$.

В случае симметрии граничных условий относительно оси y , используя принцип наложения решений, можем вместо одной задачи решать две более простые: симметричную и обратно-симметричную.

A. Симметричная задача (рис. 2)

Внешняя нагрузка — $q^{(c)}$. Из-за симметрии относительно оси y

$$W_0 = W_2, \quad M_0 = M_2 \text{ и } q_0^{(c)} = q_2^{(c)}.$$

Для рассматриваемой задачи имеем такую систему:

$$\left. \begin{aligned} V'' - \alpha_{(c)}^2(V - \mu U) &= B_{(c)}^{-1} q^{(c)} + \\ &+ \frac{1}{12 + \lambda_{(c)}} \cdot B_{(c)}^{-1} \left(Q_{n+1}^{(c)} - \psi_{n+1} - \frac{12}{h^2} \psi_{n+1} + \mu \frac{12}{h^2} \varphi_{n+1} \right) \\ U'' - \alpha_{(c)}^2 U &= \frac{1}{D} V + \frac{1}{12 + \lambda_{(c)}} B_{(c)}^{-1} \left(\frac{1}{D} \psi_{n+1} - \varphi_{n+1} - \frac{12}{h^2} \varphi_{n+1} \right) \end{aligned} \right\}, \quad (1.10)$$

где $\alpha_{(c)}^2 = -\frac{12\lambda_{(c)}}{h^2(12 + \lambda_{(c)})}$ — диагональная матрица с элементами

$$(\lambda_s)_{(c)} = -2 \left[1 + \cos \frac{\pi(2s-1)}{2n} \right] (s = 1, 2, \dots, n),$$

$V = B_{(c)}^{-1} M$, $U = B_{(c)}^{-1} W$ — столбцевые матрицы. Элементы обратной матрицы $B_{(c)}^{-1}$ находятся решением n алгебраических систем

$$B_{(c)}^{-1} B_{(c)} = E.$$

При этом элементы преобразующей матрицы $B_{(c)}$ вычисляются по формуле

$$b_{ks}^{(c)} = (-1)^{k-1} \sqrt{\frac{2}{n+1}} \sin(n+1-k) \frac{\pi(2s-1)}{2n} \quad (k, s = 1, 2, \dots, n).$$

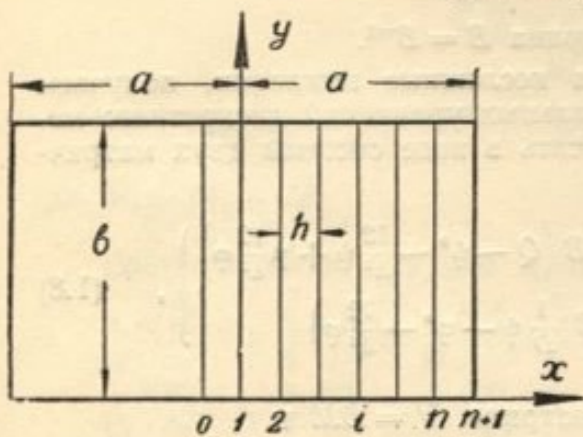


Рис. 2.

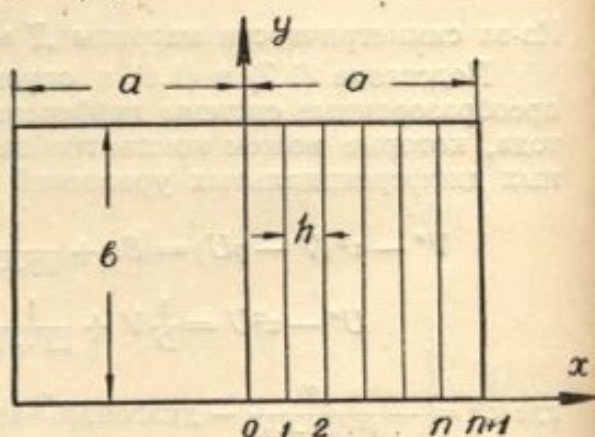


Рис. 3.

B. Обратносимметричная задача (рис. 3)

Внешняя нагрузка — $q^{(oc)}$. В силу обратной симметрии

$$W_0 = M_0 = q_0^{(oc)} = 0, \quad \text{т. е. } \varphi_0 = \varphi_n = \psi_0 = \psi_n = Q_0^{(oc)} = 0.$$

Система матричных дифференциальных уравнений имеет такой вид:

$$\left. \begin{aligned} V'' - \alpha^2(V - \mu U) &= Bq^{(oc)} + \frac{1}{12+\lambda} B \left[Q_{n+1}^{(oc)} - \psi_{n+1} - \right. \\ &\quad \left. - \frac{12}{h^2} \psi_{n+1} + \mu \frac{12}{h^2} \varphi_{n+1} \right] \\ U'' - \alpha^2 U &= \frac{1}{D} V + \frac{1}{12+\lambda} B \left(\frac{1}{D} \phi_{n+1} - \varphi_{n+1} - \frac{12}{h^2} \varphi_{n+1} \right) \end{aligned} \right\}, \quad (1.11)$$

потому что при одинаковом числе прямых $D_{(oc)} = D$, $A_{(oc)} = A$, а значит, и $\lambda_{(oc)} = \lambda$, $B_{(oc)} = B_{(oc)}^{-1} = B = B^{-1}$.

§ 2. «КОНТУРНЫЕ» ФУНКЦИИ

Элементами столбцевых матриц φ_0 , φ_{n+1} , ψ_0 и ψ_{n+1} являются «контурные» функции W_0 , W_{n+1} , M_0 и M_{n+1} , которые определяются условиями закрепления граней AB и CD . Поэтому рассмотрим, например, некоторые граничные условия на грани CD .

Грань CD свободно оперта

«Контурные» функции W_0 и M_0 равны нулю. Следовательно,

$$\varphi_0 = \varphi_{n+1} = \psi_0 = \psi_{n+1} = 0.$$

Грань CD жестко защемлена

Имеем: $W_0 = 0$, но $M_0 \neq 0$, так как $\frac{\partial^2 W}{\partial x^2} \Big|_{x=-a} \neq 0$. Значит, $\varphi_0 = \varphi_{n+1} = 0$, а $\psi_0 \neq \psi_{n+1} \neq 0$.

Чтобы проинтегрировать систему дифференциальных уравнений, соответствующую рассматриваемому случаю граничных условий на грани CD , представим «контурную» функцию M_0 степенным полиномом

$$M_0 = \sum_{k=0}^{m-2} d_k^{(0)} y^k \quad (2.1)$$

с неизвестными коэффициентами $d_k^{(0)}$, подлежащими определению в дальнейшем.

Грань CD свободна

В этом случае $W_0 \neq 0$ и $M_0 \neq 0$, т. е.

$$\varphi_0 \neq \varphi_{n+1} \neq \psi_0 \neq \psi_{n+1} \neq 0.$$

На грани CD

$$\frac{\partial^2 W}{\partial x^2} + v \frac{\partial^2 W}{\partial y^2} = 0. \quad (2.2)$$

Из второго дифференциального уравнения системы (1.3)

$$\frac{\partial^2 W}{\partial x^2} = \frac{1}{D} M - \frac{\partial^2 W}{\partial y^2}. \quad (2.3)$$

Подставив (2.3) в (2.2), найдем

$$M_0 = D(1-v) \frac{\partial^2 W_0}{\partial y^2}. \quad (2.4)$$

Таким образом, в данном случае, как и в предыдущем, необходимо «интерполировать» только одну «контурную» функцию, а именно: W_0 . Пусть

$$W_0 = \sum_{k=0}^m c_k^{(0)} y^k, \quad (2.5)$$

где $c_k^{(0)}$ — неизвестные коэффициенты.

Тогда, согласно (2.4),

$$M_0 = D(1 - v) \sum_{k=0}^m k(k-1) c_k^{(0)} y^{k-2}.$$

Изменив в вышеприведенных выражениях индекс 0 на $n+1$, получим соответствующие рассмотренным граничным условиям «контурные» функции на гранях AB .

§ 3. ИНТЕГРИРОВАНИЕ СИСТЕМ ДИФФЕРЕНЦИАЛЬНЫХ УРАВНЕНИЙ

Системы дифференциальных уравнений § 1 являются системами с переменными коэффициентами. Поэтому возможно только приближенное их интегрирование. Возьмем, например, систему (1.8) и будем искать ее решение приближенным способом линейной аппроксимации функций U_i и V_i ($i = 1, 2, \dots, n$), находящихся в правой части. Прежде всего в системе (1.8) заменим «контурные» функции «интерполирующими» их степенными полиномами вида (2.1) и (2.5). В результате группирования получившихся в правых частях многочленов система (1.8) приобретает вид

$$\left. \begin{aligned} V_i'' - \alpha_i^2 V_i &= -\alpha_i^2 \mu U_i + \sum_{s=1}^n b_{is} q_s(y) + \\ &+ \frac{1}{12 + \lambda_i} [b_A q_0(y) + b_m q_{n+1}(y)] + \sum_{k=0}^m \xi_k^{(i)} y^k, \\ U_i'' - \alpha_i^2 U_i &= \frac{1}{D} V_i + \sum_{k=0}^m \tau_k^{(i)} y^k \quad (i = 1, 2, \dots, n) \end{aligned} \right\}, \quad (3.1)$$

где коэффициенты $\xi_k^{(i)}$ и $\tau_k^{(i)}$ представляют собой линейные комбинации коэффициентов «интерполирующих» полиномов. Ради простоты полагаем $q = \text{const}$. Тогда

$$Aq + \frac{1}{12} Q = q,$$

а в системе (3.1) вместо

$$\sum_{s=1}^n b_{is} q_s(y) + \frac{1}{12 + \lambda_i} [b_A q_0(y) + b_m q_{n+1}(y)]$$

будет

$$q \frac{12}{12 + \lambda_i} \sum_{s=1}^n b_{is} = q \beta_i \quad (i = 1, 2, \dots, n).$$

Разобъем интервал интегрирования $(0, b)$ на $r+1$ участков равной длины ρ точками (рис. 1). На участке между точками r и $r+1$ функции U_i и V_i ($i = 1, 2, \dots, n$), находящиеся в правых частях дифференциальных уравнений системы (3.1), считаем изменяющимися линейно, т. е.

$$\left. \begin{aligned} U_i^{(r, r+1)} &= \frac{\bar{y}_r}{\Delta y} [U_i^{(r+1)} - U_i^{(r)}] + U_i^{(r)} \\ V_i^{(r, r+1)} &= \frac{\bar{y}_r}{\Delta y} [V_i^{(r+1)} - V_i^{(r)}] + V_i^{(r)} \end{aligned} \right\}, \quad (3.2)$$

$$(i = 1, 2, \dots, n)$$

где $U_i^{(r)} = U_i|_{y=y_r}$, $V_i^{(r)} = V_i|_{y=y_r}$ и т. д.;

$\bar{y}_r = y - y_r$ переменная на участке $(r, r+1)$,

$\Delta y = y_{r+1} - y_r = \text{const}$.

Интегрируем систему (3.1), с учетом выражений (3.2), по методу начальных параметров с переносом начала координат от точки $r=1$ к точке r . Это позволяет рассчитывать дискретным методом пластины, нагруженные не только распределенной нагрузкой, но и сосредоточенной, приложенной в точке, через которую проходит одна из прямых.

На участке $(0-1)$ $\bar{y}_0 = y - y_0 = y$, так как $y_0 = 0$. Поэтому

$$V_i^{(0-1)} = A_1^{(i)} \operatorname{ch} \alpha_i y + A_2^{(i)} \frac{1}{\alpha_i} \operatorname{sh} \alpha_i y - \alpha_i \mu \int_0^y U_i^{(0,1)}(t) \operatorname{sh} \alpha_i(y-t) dt + \\ + \frac{1}{\alpha_i} \sum_{k=0}^m \xi_k^{(i)} \varphi_k^{(i)}(y) + q \beta_i \frac{1}{\alpha_i} \varphi_0^{(i)}(y),$$

$$U_i^{(0-1)} = B_1^{(i)} \operatorname{ch} \alpha_i y + B_2^{(i)} \frac{1}{\alpha_i} \operatorname{sh} \alpha_i y + \frac{1}{\alpha_i} \int_0^y \left(\sum_{k=0}^m \theta_k t^k \right) V_i^{(0,1)}(t) \operatorname{sh} \alpha_i(y-t) dt + \\ + \frac{1}{\alpha_i} \sum_{k=0}^m \eta_k^{(i)} \varphi_k^{(i)}(y) \quad (i = 1, 2, \dots, n),$$

где

$$\varphi_0^{(i)}(y) = \int_0^y \operatorname{sh} \alpha_i(y-t) dt, \quad \varphi_1^{(i)}(y) = \int_0^y t \operatorname{sh} \alpha_i(y-t) dt, \\ \varphi_k^{(i)}(y) = \frac{1}{\alpha_i} \left[\frac{k(k-1) \varphi_{k-2}^{(i)}}{\alpha_i} - y^k \right] (k = 2, 3, \dots, m), \quad \sum_{k=0}^m \theta_k y^k \cong \frac{1}{D}.$$

При $y = 0$

$$V_i^{(0-1)}|_{y=0} = V_i^{(0)} = A_1^{(i)}, \quad U_i^{(0-1)}|_{y=0} = U_i^{(0)} = B_1^{(i)} \quad (i = 1, 2, \dots, n).$$

Функции $V_i^{(0-1)}$ и $U_i^{(0-1)}$ ($i = 1, 2, \dots, n$) при $y = y_1$ должны быть равны, соответственно $V_i^{(1)}$ и $U_i^{(1)}$ ($i = 1, 2, \dots, n$). Это дает ряд алгебраических систем

$$\left. \begin{array}{l} V_i^{(0-1)}|_{y=y_1} = V_i^{(1)} \\ U_i^{(0-1)}|_{y=y_1} = U_i^{(1)} \end{array} \right\}, \quad (i = 1, 2, \dots, n)$$

решением которых находим значения $U_i^{(1)}$ и $V_i^{(1)}$ ($i = 1, 2, \dots, n$).

Далее вычисляем производные

$$\frac{d}{dy} V_i^{(0-1)}|_{y=y_1} \text{ и } \frac{d}{dy} U_i^{(0-1)}|_{y=y_1} \quad (i = 1, 2, \dots, n).$$

Переносим начало координат в точку $y = y_1$ и интегрируем систему (3.1) на участке $(1-2)$.

$$V_i^{(1-2)} = \bar{A}_1^{(i)} \operatorname{ch} \alpha_i \bar{y}_1 + \bar{A}_2^{(i)} \frac{1}{\alpha_i} \operatorname{sh} \alpha_i \bar{y}_1 - \alpha_i \mu \int_0^{\bar{y}_1} U_i^{(1,2)}(t) \operatorname{sh} \alpha_i(\bar{y}_1 - t) dt + \\ + \frac{1}{\alpha_i} \sum_{k=0}^m \bar{\xi}_k^{(i)} \varphi_k^{(i)}(\bar{y}_1) + q \beta_i \frac{1}{\alpha_i} \varphi_0^{(i)}(\bar{y}_1),$$

$$U_i^{(1-2)} = \bar{B}_1^{(i)} \operatorname{ch} \alpha_i \bar{y}_1 + \bar{B}_2^{(i)} \frac{1}{\alpha_i} \operatorname{sh} \alpha_i \bar{y}_1 + \frac{1}{\alpha_i} \int_0^{\bar{y}_1} \left(\sum_{k=0}^m \bar{\theta}_k t^k \right) V_i^{(1,2)}(t) \operatorname{sh} \alpha_i(\bar{y}_1 - t) dt + \\ + \frac{1}{\alpha_i} \sum_{k=0}^m \bar{\eta}_k^{(i)} \varphi_k^{(i)}(\bar{y}_1) \quad (i = 1, 2, \dots, n),$$

где

$$\begin{aligned} \sum_{k=0}^k \bar{\theta}_k \bar{y}_1^k &= \sum_{k=0}^k \theta_k (\bar{y}_1 + y_1)^k, \\ \sum_{k=0}^m \bar{\xi}_k^{(i)} \bar{y}_1^k &= \sum_{k=0}^m \xi_k^{(i)} (\bar{y}_1 + y_1)^k, \quad \sum_{k=0}^m \bar{\eta}_k^{(i)} \bar{y}_1^k = \sum_{k=0}^m \eta_k^{(i)} (\bar{y}_1 + y_1)^k, \\ \bar{y}_1 &= y - y_1, \quad y_1 = \frac{b}{\rho+1}. \end{aligned}$$

Постоянные интегрирования участка (1—2) легко определяются из начальных условий при $\bar{y}_1 = 0$, а именно:

$$\begin{aligned} \bar{A}_1^{(i)} &= V_i^{(1)}, \quad \bar{A}_2^{(i)} = \frac{\partial}{\partial y} V_i^{(0-1)} \Big|_{y=y_1}, \\ \bar{B}_1^{(i)} &= U_i^{(1)}, \quad \bar{B}_2^{(i)} = \frac{\partial}{\partial y} U_i^{(0-1)} \Big|_{y=y_1}, \\ (i &= 1, 2, \dots, n) \end{aligned}$$

Из алгебраической системы

$$\left. \begin{array}{l} V_i^{(1-2)} \Big|_{y=y_1} = V_i^{(2)} \\ U_i^{(1-2)} \Big|_{y=y_1} = U_i^{(2)} \end{array} \right\} \quad (i = 1, 2, \dots, n)$$

находим значения $V_i^{(2)}$ и $U_i^{(2)}$ ($i = 1, 2, \dots, n$). Снова вычисляем производные

$$\frac{\partial}{\partial y} V_i^{(1-2)} \Big|_{y=y_1} \text{ и } \frac{\partial}{\partial y} U_i^{(1-2)} \Big|_{y=y_1} \quad (i = 1, 2, \dots, n).$$

Система (3.1) интегрируется на участке (2—3) и т. д., до последнего участка $\rho+1$. Процесс интегрирования прост. Вычисление значений $V_i^{(r, r+1)}$, $U_i^{(r, r+1)}$, $\frac{\partial}{\partial y} V_i^{(r, r+1)}$ и $\frac{\partial}{\partial y} U_i^{(r, r+1)}$ ($i = 1, 2, \dots, n$) в точках $y = y_r$ ($r = 1, 2, \dots, \rho$) осуществляется легко, так как

$$\begin{aligned} \text{ch} \alpha_i \bar{y}_r \Big|_{y=y_{r+1}} &= \text{ch} \alpha_i \Delta y = \text{const}, \\ \text{sh} \alpha_i \bar{y}_r \Big|_{y=y_{r+1}} &= \text{sh} \alpha_i \Delta y = \text{const}, \\ \varphi_k^{(i)} (\bar{y}_r) \Big|_{y=y_{r+1}} &= \varphi_k^{(i)} (\Delta y) = \text{const} \quad (r = 0, 1, 2, \dots, \rho). \end{aligned}$$

Решение алгебраических систем

$$\left. \begin{array}{l} V_i^{(r, r+1)} \Big|_{y=y_{r+1}} = V_i^{(r+1)} \\ U_i^{(r, r+1)} \Big|_{y=y_{r+1}} = U_i^{(r+1)} \end{array} \right\} \quad (i = 1, 2, \dots, n; r = 0, 1, 2, \dots, \rho)$$

также не представляет труда и может быть записано в общем виде.

Систему (3.1) можно также проинтегрировать методом осреднения переменных коэффициентов, который подробно изложен в монографии [3].

§ 4. ГРАНИЧНЫЕ УСЛОВИЯ

Рассуждения относим к грани АД (рис. 1). Положим, что граничные условия на гранях АВ и СД относительно оси y несимметричны.

Грань АД свободна

Имеем:

$$\left. \begin{array}{l} \left(\frac{\partial^2 W}{\partial y^2} + \nu \frac{\partial^2 W}{\partial x^2} \right)_{y=0} = 0 \\ \frac{\partial}{\partial y} \left[\frac{\partial^2 W}{\partial y^2} + (2 - \nu) \frac{\partial^2 W}{\partial x^2} \right]_{y=0} = 0 \end{array} \right\} \quad (4.1)$$

Подставим (2.3) в (4.1). Это дает

$$\left. \begin{aligned} & \left(\frac{\partial^2 W}{\partial y^2} + \frac{\nu}{D(1-\nu)} M \right)_{y=0} = 0 \\ & \left(\frac{\partial^2 W}{\partial y^3} + \frac{2-\nu}{\nu-1} \frac{1}{D} \frac{\partial M}{\partial y} - \frac{2-\nu}{\nu-1} \frac{1}{D^2} \frac{dD}{dy} M \right)_{y=0} = 0 \end{aligned} \right\}. \quad (4.2)$$

Запишем (4.2) для каждой прямой i ($i = 1, 2, \dots, n$) и перейдем от функций W_i и M_i ($i = 1, 2, \dots, n$) к функциям U_i и V_i ($i = 1, 2, \dots, n$). Учитывая, что детерминант $\|B\| \neq 0$, вместо системы (4.2), получаем такие граничные условия:

$$\left. \begin{aligned} & \left(U'' + \frac{\nu}{D(1-\nu)} V \right)_{y=0} = 0 \\ & \left[U''' + \frac{2-\nu}{(\nu-1)D} \left(V' - \frac{1}{D} \frac{\partial D}{dy} V \right) \right]_{y=0} = 0 \end{aligned} \right\}, \quad (4.3)$$

где $U = BW$, $V = BM$ — столбцевые матрицы.

Грань AD свободно оперта

$$U|_{y=0} = 0, \quad V|_{y=0} = 0.$$

Грань AD жестко защемлена

$$U|_{y=0} = 0, \quad U'|_{y=0} = 0.$$

Из изложенного выше видно, что «контурные» функции на гранях AB и CD , а также и граничные условия на гранях AD (или BC) не отличаются от таковых для прямоугольных пластин постоянной толщины¹. Исключение представляет случай свободной грани AD (или BC). Поэтому вопросы, общие для рассматриваемых пластин и пластин постоянной жесткости, в дальнейшем нами опущены.

§ 5. ОПРЕДЕЛЕНИЕ КОЭФФИЦИЕНТОВ «ИНТЕРПОЛИРУЮЩИХ» ПОЛИНОМОВ

Неизвестные коэффициенты степенных полиномов, которыми представлены «контурные» функции, находятся в результате совместного решения основной и дополнительной систем алгебраических уравнений.

Рассмотрим граничные условия на свободной грани CD . Поскольку равенство нулю на грани CD изгибающих моментов M_x было использовано для определения «контурной» функции M_0 , невыполненным на этой грани остается условие равенства нулю обобщенных срезывающих сил

$$-\left[D \frac{\partial}{\partial x} \left(\frac{\partial^2 W}{\partial x^2} + (2-\nu) \frac{\partial^2 W}{\partial y^2} \right) + 2(1-\nu) \frac{dD}{dy} \frac{\partial^2 W}{\partial x \partial y} \right] = 0. \quad (5.1)$$

Из второго дифференциального уравнения системы (1.3) находим

$$\frac{\partial^2 W}{\partial y^2} = \frac{1}{D} M - \frac{\partial^2 W}{\partial x^2}. \quad (5.2)$$

Посредством (5.2) уравнение (5.1) преобразуются к такому виду:

$$\frac{\partial^3 W}{\partial x^3} + \frac{2-\nu}{D(\nu-1)} \frac{\partial M}{\partial x} - \frac{2}{D} \frac{dD}{dy} \frac{\partial^2 W}{\partial x \partial y} = 0. \quad (5.3)$$

¹ См. статью Ю. П. Петрова в настоящем сборнике «Расчет на изгиб упругих прямоугольных пластин дискретным методом».

Имеем:

$$\left. \begin{aligned} \frac{\partial^3 W}{\partial x^3} \Big|_{x=-a} &= \frac{1}{2h^3} (-5W_0 + 18W_1 - 24W_2 + 14W_3 - 3W_4) = \\ &= -\frac{5}{2h^3} W_0 + \frac{1}{2h^3} \sum_{k=1}^4 f_k W_k \\ \frac{\partial M}{\partial x} \Big|_{x=-a} &= \frac{1}{12h} (-25M_0 + 48M_1 - 36M_2 + 16M_3 - 3M_4) = \\ &= -\frac{25}{12h} M_0 + \frac{1}{12h} \sum_{k=1}^4 p_k M_k \\ \frac{\partial^2 W}{\partial x \partial y} \Big|_{x=-a} &= -\frac{25}{12h} W'_0 + \frac{1}{12h} \sum_{k=1}^4 p_k W'_k \end{aligned} \right\}. \quad (5.4)$$

Подставив (5.4) в (5.3), переходим от функций W_k и M_k ($k = 1, 2, \dots, 4$) к функциям U_i и V_i ($i = 1, 2, \dots, n$). В результате вместо (5.3) получим

$$\begin{aligned} &6 \sum_{s=1}^n U_s \sum_{k=1}^4 f_k b_{ks} + \frac{2-\nu}{D(\nu-1)} h^2 \sum_{s=1}^n V_s \sum_{k=1}^4 p_k b_{ks} - \\ &- \frac{2}{D} \frac{dD}{dy} h^2 \sum_{s=1}^n U'_s \sum_{k=1}^4 p_k b_{ks} = 30W_0 + \frac{2-\nu}{D(\nu-1)} 25h^2 M_0 - \frac{2}{D} \frac{dD}{dy} 25h^2 W'_0. \end{aligned} \quad (5.5)$$

Уравнение (5.5) считаем основным граничным условием на свободной грани СД. Оно и привлекается для нахождения коэффициентов степенного полинома, которым представлена «контурная» функция W_0 . Полагая в (5.5) $y = y_j$ ($j = 1, 2, \dots, k$), придем к основной алгебраической системе

$$\begin{aligned} &\left[6 \sum_{s=1}^n U_s \sum_{k=1}^4 f_k b_{ks} + \frac{2-\nu}{D(\nu-1)} h^2 \sum_{s=1}^n V_s \sum_{k=1}^4 p_k b_{ks} - \frac{2}{D} \frac{dD}{dy} h^2 \sum_{s=1}^n U'_s \sum_{k=1}^4 p_k b_{ks} - \right. \\ &\left. - 30W_0 - \frac{2-\nu}{D(\nu-1)} 25h^2 M_0 + \frac{2}{D} \frac{dD}{dy} 25h^2 W'_0 \right]_{y=y_j} = 0 \quad (j = 1, 2, \dots, k). \end{aligned} \quad (5.6)$$

Для жестко защемленной грани СД основное граничное условие не отличается от такового для пластины постоянной толщины.

Опуская некоторые подробности, рассмотрим дополнительные условия в точке D в случае свободных граней DA и DC (рис. 1).

В точке D имеем:

$$\left. \begin{aligned} \frac{\partial^2 W}{\partial x^2} + \nu \frac{\partial^2 W}{\partial y^2} &= 0 \\ \frac{\partial^2 W}{\partial y^2} + \nu \frac{\partial^2 W}{\partial x^2} &= 0 \end{aligned} \right\}.$$

откуда

$$\begin{aligned} \frac{\partial^2 W}{\partial x^2} &= 0 \text{ и } \frac{\partial^2 W}{\partial y^2} = M_0 = 0; \\ R &= 2D(1-\nu) \frac{\partial^2 W}{\partial x \partial y} = 0, \end{aligned}$$

или

$$\left. \begin{aligned} \frac{\partial^2 W}{\partial x \partial y} &= 0; \\ \frac{\partial^2 W}{\partial x^3} + \frac{2-\nu}{D(\nu-1)} \frac{\partial M}{\partial x} - \frac{2}{D} \frac{dD}{dy} \frac{\partial^2 W}{\partial x \partial y} &= 0 \\ \frac{\partial^2 W}{\partial y^3} + \frac{2-\nu}{D(\nu-1)} \frac{\partial M}{\partial y} - \frac{2-\nu}{D^2(\nu-1)} \frac{dD}{dy} M &= 0 \end{aligned} \right\}. \quad (a)$$

Но в точке D также

$$\frac{\partial M}{\partial y} = D(1-\nu) \frac{\partial^3 W}{\partial y^3} + \frac{dD}{dy}(1-\nu) \frac{\partial^2 W}{\partial y^2}. \quad (6)$$

Из сравнения (а) и (б), с учетом того, что

$$\frac{\partial^2 W}{\partial y^2} = \frac{\partial^2 W}{\partial x \partial y} = 0,$$

следует:

$$\frac{\partial^3 W}{\partial y^3} = 0, \quad \frac{\partial^3 W}{\partial x^3} + \frac{2-\nu}{D(1-\nu)} \frac{\partial M}{\partial x} = 0.$$

Как видим, дополнительные условия в точке D в случае свободных граней DA и DC для рассматриваемых пластин и пластин постоянной жесткости одинаковы. То же самое можно сказать и в отношении иных дополнительных условий.

Значения функций U_i и V_i ($i = 1, 2, \dots, n$) в точках ($r = 1, 2, \dots, p$) получаются в результате интегрирования системы дифференциальных уравнений. При «интерполировании», например, «контурной» функции W_0 степенным полиномом (2.5) целесообразно число участков, на которое разбивается интервал интегрирования системы и степень полинома (2.5) назначать так, чтобы было

$$p + d = m + 1,$$

где d — число дополнительных условий в точках C и D .

Тогда в основную алгебраическую систему войдут значения функций U_i и V_i ($i = 1, 2, \dots, n$), которыми мы уже располагаем.

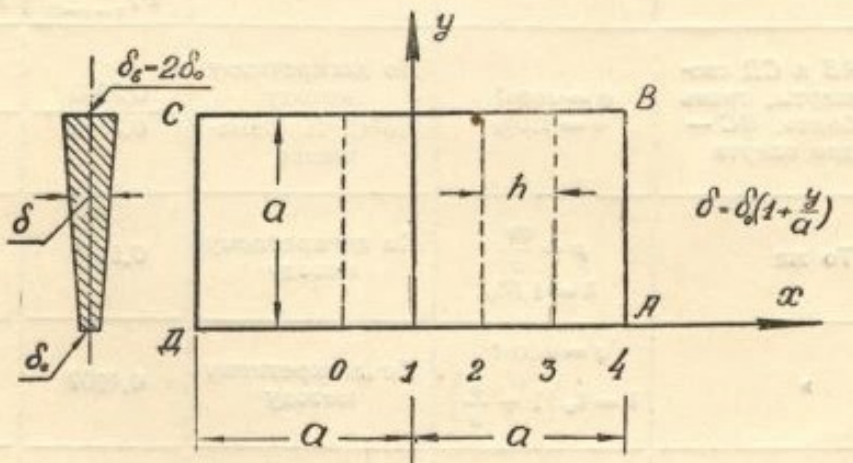


Рис. 4.

В качестве примера была взята пластина размерами $2a \times a$ (рис. 4), которая рассчитывалась дискретным методом при $n = 3$ (вводилось три прямых). Интегрировалась система (1.10). При расчете пластины переменной толщины число участков линейного аппроксимирования функций U_i и V_i ($i = 1, 2, 3$) бралось равным двум (т. е. $p = 1$).

Результаты расчетов представлены в таблицах 1 и 2. Там же для некоторых примеров в целях сравнения приведены соответствующие данные из работы [4]. Сопоставление последних с полученными по дискретному методу позволяет сделать заключение о достоверности расчета дискретным методом пластин с $\delta = 1,5\delta_0$, нагруженных нагрузкой $p = qu/a$.

$v = 0,3$

Таблица 1

| Границные условия | Нагрузка и толщина | Решение | Прогибы в $qa^4/E\delta_0^3$ | Моменты в qa^2 | |
|---|--|-----------------------|------------------------------|-------------------|-------------------|
| | | | $W _{x=y=0}$ | $M_y _{x=0, y=a}$ | $M_x _{x=0, y=0}$ |
| Границы AB и CD свободно оперты, граница AD свободна, BC жестко защемлена | $q = \text{const}$ $\delta = 1,5\delta_0$ | По дискретному методу | 0,1890 | -0,3265 | 0,1227 |
| | | По С. П. Тимошенко | 0,1880 | -0,3190 | 0,1172 |
| То же | $p = \frac{qy}{a}$ $\delta = 1,5\delta_0$ | По дискретному методу | 0,0557 | -0,1170 | 0,0370 |
| , | $q = \text{const}$ $\delta = \delta_0 \left(1 + \frac{y}{a}\right)$ | По дискретному методу | 0,2750 | -0,4780 | 0,0550 |
| , | $p = \frac{qy}{a}$ $\delta = \delta_0 \left(1 + \frac{y}{a}\right)$ | По дискретному методу | 0,0640 | -0,1452 | 0,0130 |

 $v = 0,3$

Таблица 2

| Границные условия | Нагрузка и толщина | Решение | Прогибы в $qa^4/E\delta_0^3$ | Моменты в qa^2 | |
|--|--|-----------------------|------------------------------|------------------|--|
| | | | $W _{x=y=0}$ | $M_x _{x=y=0}$ | |
| Границы AB и CD свободно оперты, граница AD свободна, BC — свободно оперта | $q = \text{const}$ $\delta = 1,5\delta_0$ | По дискретному методу | 0,3660 | 0,2564 | |
| | | По С. П. Тимошенко | 0,3675 | 0,2400 | |
| То же | $p = \frac{qy}{a}$ $\delta = 1,5\delta_0$ | По дискретному методу | 0,1180 | 0,0815 | |
| , | $q = \text{const}$ $\delta = \delta_0 \left(1 + \frac{y}{a}\right)$ | По дискретному методу | 0,4907 | 0,0980 | |
| , | $p = \frac{qy}{a}$ $\delta = \delta_0 \left(1 + \frac{y}{a}\right)$ | По дискретному методу | 0,1300 | 0,02590 | |

Прогиб в точке $x = 0, y = 0$ для пластины переменной толщины, нагруженной нагрузкой $p = qy/a$, оказался больше на 10.2 %, чем прогиб аналогичной пластины, но с толщиной $\delta = 1,5\delta_0$ (табл. 2). Это соответствует результату (увеличение на 20 %), который получен при решении задачи методом малого параметра [5].

ВЫВОДЫ

В настоящей работе изложена основанная на дискретном методе методика расчета упругих прямоугольных пластин с линейно изменяю-

щейся толщиной при разнообразных граничных условиях (включая и консольные пластины).

Расчеты показывают, что даже небольшое число прямых и участков аппроксимирования обеспечивает удовлетворительную точность. С увеличением числа прямых и участков аппроксимирования дискретный метод может быть использован при расчетах и исследовании многих практически важных задач о напряженно-деформированном состоянии упругих пластин с толщиной, изменяющейся линейно в одном направлении.

Дискретный метод легко распространяется и на задачу об изгибе упругой пластины с линейным изменением жесткости.

ЛИТЕРАТУРА

1. Л. П. Винокуров. Прямые методы решения пространственных и контактных задач для массивов и фундаментов. Изд-во Харьковского Гос. ун-тета, 1956.
 2. М. Г. Слободянский. Способ приближенного интегрирования уравнений с частными производными и его применение к задачам теории упругости. Прикладная математика и механика, т. 3, в. 1, 1939.
 3. Р. Фрезер, В. Дункан и И. Коллар. Теория матриц и ее приложения к дифференциальным уравнениям и динамике. Иноиздат, 1950.
 4. С. П. Тимошенко. Пластиинки и оболочки, Гостехиздат, 1948.
 5. H. Favre, W. Schumapp. Bull. techn. Suisse romande. 1955, 81, № 11, 161—173.
-